

بناء نظام ديناميكي للسلاسل الزمنية بمعلمات قليلة

أسماء عبدالمنعم عبدالله**

ميسون مال الله عزيز*

الملخص

في هذا البحث تم استخدام طريقة دالة القاعدة النصف قطرية (الشعاعية) (radial basis) ، لبناء نماذج لسلسلة زمنية ، إذ تم استنتاج نموذج لسلسلة زمنية غير خطية وتبين ان الخطأ محصور بين الصفر والواحد ووضحت الخصائص الاحتمالية لهذه السلسلة مع تحليل كامل لبواقي النموذج ومحاكاة بيانات النموذج وفحصها إذا كانت البيانات المولدة من النموذج لها خصائص البيانات الخام نفسها .

Building Parsimonious Dynamic System for Time Series

ABSTRACT

In this paper the radial basis function method is used for the generation of models of time series. It has been arrived at a model for nonlinear time series. It has also been found that the error is restricted between zero and one. The probability characteristics have been explained for such series accompanied by a complete analysis for the residuals of model. A simulation has been done for the purpose of examination the generative information of the model. which have the same information characteristics.

* مدرس/ كلية علوم الحاسبات والرياضيات/جامعة الموصل

** مدرس مساعد/كلية علوم الحاسبات والرياضيات / قسم الرياضيات / جامعة الموصل

المقدمة :

من المؤلف في عملية البناء الديناميكي هو أيجاد دالة من بيانات السلسلة الزمنية إذ أن النظام الديناميكي غالباً ما يكون خوارزمياً (Algorithmically) بدلاً من أن يكون محددًا (Explicitly) ويملك تقريباً ديناميكية البيانات نفسها . النظام الناتج ويستعمل لـ التخمين (Estimation) ، التوليد (Interpolation) ، السيطرة (Control) ، واختبار وجود اللاخطية (Nonlinearity) .

ازداد البناء واصبح اكثر شيوعا كطريقة لفهم موضوع السلاسل الزمنية التي يعتقد انها ممكن ان تحتوي على ميزات ديناميكية غير خطية ، فضلا عن سهولة حساب الاحصائيات كالبعء الكسوري (Judd, 1983; Grassberger, 1992) . وعلى وجه الخصوص بمجموعات بيانات صغيرة . وقد اقترحت عدة طرائق للبناء (Farmer & Sidorowich, 1987; Casdagli, 1989; Mees, 1990; Weigend et al., 1990, 1991) ، أغلب الاهتمامات من قبل الاحصائيين بنماذج السلاسل الزمنية الخطية واللاخطية وهناك جهد قليل في طرائق بناء نماذج بعدد قليل من المعلمات . معطى قيماً حقيقية لسلاسل زمنية ، لقيم k من المتجهات $\{Y_t\}$ و $\{Z_t\}$

(k- Vector valued time series) إذ يفترض

$$Y_t = f(Z_t) + V_t \quad \dots\dots\dots(1)$$

المسألة هو أن نقدر \hat{f} للدالة غير المعروفة f . البواقي $\{V_t\}$ تؤخذ إذ

تكون متغيرات عشوائية مستقلة ولها نفس التوزيع الاحتمالي الطبيعي (IID)

(Normal) أي (Independently identically normally distributed) بمعدل صفر وتباين غير معلوم.

هناك طرائق عدة لاشتقاق المقدر \hat{f} ، في بحثنا سنتناول طريقة دالة

القاعدة النصف قطرية (الشعاعية) (Radial basis function approach) .

الجانب النظري

1. نمذجة دالة القاعدة النصف قطرية (الشعاعية) Radial Basis Function Modeling

معظم النماذج المحددة غير الخطية للسلاسل الزمنية تملك عدداً كبيراً من المعلمات ويتم ملاءمتها بعدم وجود التشويش ، تم توضيح كيفية نمذجة دالة القاعدة النصف قطرية (شعاعية) بعدد قليل من المعلمات ، احد مزايا طريقة القاعدة النصف قطرية (الشعاعية) هو ان النموذج الناتج يمكن ان يوصف بنموذجاً تحليلياً إذ يمكن دراسته كأى نظام ديناميكي أفضل من أن يوصف بمحاكاة تجريبية ، النموذج يبدو أكثر شبهاً بنظام تجريبي من كون النموذج رياضياً . واعتمدت الطريقة على مقياس الطول (Description Length Criterion) (Rissanen,) (1989) .

2. طريقة Taken's Method :

نفترض أن y_t هي سلسلة زمنية ذات قيم حقيقية وأن $(y_t \in R)$ ذات بعد واحد $t = 1, 2, \dots, \tilde{T}$ ، $y_t = y_1, y_2, \dots, y_{\tilde{T}}$ نولد (k) من المتجهات وذلك عن طريق استخدام طريقة (Taken's, 1981). ونفترض ان Z_t مغمور في بعد d ، حيث d هو البعد لفضاء الطور الذي فيه الجاذب مغمور ويطلق عليه البعد المغمور

وأن $(y_t \in \mathbb{R}^d)$ إذ أن $t = 1, 2, 3, \dots, T$. ليكن h عدد صحيح ($h \geq 1$) وأن
 إذاً $T = \tilde{T} - (d - 1)h$

$$Z_t = (y_t, y_{t-h}, y_{t-2h}, \dots, y_{t-(d-1)h})$$

(Mees, 1994)

3. طريقة النمذجة : Method of Modeling

نوجد \hat{f} لكي تتلاءم مع السلسلة الحقيقية y_t إذ بالإمكان استخدام النمذجة
 بطريقة دالة القاعدة النصف قطرية (الشعاعية) (Radial Basis Function) حيث
 يرمز لها للاختصار (RB) .

$$\hat{f}(Z) = \sum_{s=1}^N S_s \phi(|Z - C_s|) \dots\dots\dots(2)$$

المعادلة (2) هي نموذج القاعدة النصف قطرية (RB) الأصلية
 Original Radial Basis (RB) Model إذ f هي دالة القاعدة (Basis
 Function) وهناك عدة دوال قاعدة ممكنة في هذا البحث سوف نأخذ الدالة
 الكاوسية (Gaussian Function) لأنها تبدو أكثر ملاءمة لنمذجة أنواع مختلفة
 من الظواهر الطبيعية (Mees, 1994) ، $\{C_s\}$ تمثل المراكز (Centers) التي
 تختار عشوائياً وتكون على شكل مجموعات جزئية من Z_t . وبوجود السلسلة
 الزمنية Y_t نقوم بتوليد المتجهات Z_t منها وذلك باستخدام طريقة Takens فقرة
 (2) .

بعد حساب Z_t, C_s نقوم بتطبيق الدالة الكاوسية (Judd, K. & Mees, 2002)

إذ ان الدالة هي :

$$f(r) = \exp (-r^2/s^2) \dots\dots\dots(3)$$

عندما $r = (Z_t - C_s)$

$$f(|Z-C_s|) = \exp(-(Z-C_s)^2 / s^2) \dots\dots\dots(4)$$

إذ s^2 هو تباين السلسلة الزمنية الحقيقية y_t ، من المعادلة (4) سينتج لدينا

مصفوفة بسعة $T*d$ إذ T تشير إلى طول السلسلة y_t ، إذ

$$y_t = y_1, y_2, \dots, y_T \quad , t = 1, 2, \dots, T$$

و d هو البعد المغمور الذي سوف يتم اختياره ، سيتم حساب المعلمة

S وذلك بتطبيق الخوارزمية الاتية. (Mees, 1993) ، (Mees, 1994)

4. الخوارزمية : Algorithm

1. نفرض ان $m = 0$ ، $Y = Y_0$ ، $I^i = I_0^i$

2. نوجد الأس q وذلك

$$I_m^q = Y \cdot I_m^i / I_m^i \cdot I_m^i \quad \text{over } i$$

$$H_m = Y \cdot I_m^q / |I_m^q| \quad \text{نفرض ان}$$

$$Y \cdot Y - \sum_{j=1}^m H_j^2 \leq \theta Y \cdot Y \quad \text{إذا 3}$$

اذهب إلى الخطوة (6)

4. لكل i ، نفرض ان

$$I_{m+1}^i = I_m^i - I_m^i \cdot I_m^q / I_m^q \cdot I_m^q$$

5. عرف $i_{m+1} = q$ بزيادة m واذهب إلى خطوة (2) .

6. احسب S بواسطة الحل بالمربعات الصغرى

$$\text{المعادلة } I(m) S = Y$$

عندما

$$I(m) = \{I^{i_1}, I^{i_2}, \dots, I^{i_m}\}$$

بحيث أن $I(m)$ عبارة عن أعمدة .

5. شرح الخوارزمية : The Explanation of Algorithm

بتطبيق الدالة الكاوسية في المعادلة (4) تنتج مصفوفة ، فنختار عموداً واحداً من هذه المصفوفة هو I^i إذ يكون على الأغلب قريب التوازي لـ Y (Most nearly parallel to Y) (Mees, 1993). وكذلك باستخدام قيم السلسلة الزمنية y_t ، إذ يتم ادخال العمود والسلسلة إلى الخوارزمية . وبوضع معداد $m = 0$ ، ويتم استخراج عمود جديد وهو I_0^q في الخطوة (2) .

$$I_0^q = Y \cdot I^i / I^i \cdot I^i$$

ثم يتم حساب :

$$H_1 = Y \cdot I_0^q / |I_0^q|$$

ويتم حساب قيمة q_t عن طريق

$$Y_t \cdot Y_t \leq \theta \cdot Y \cdot Y$$

$$\Rightarrow \frac{Y_t \cdot Y_t}{Y \cdot Y} \leq \theta_t, \quad t = 1, 2, 3, \dots, T$$

اذ ان Y_t هي قيمة من السلسلة الزمنية Y . ثم تتم المقارنة كما في الخطوة رقم (3) في الخوارزمية . بعد المقارنة أما ان تنتقل إلى الخطوة (4) حيث يتم حساب عمود جديد آخر

$$I_1^i = I_0^i - I_0^i \cdot I_0^q / |I_0^q|^2$$

أو نذهب إلى الخطوة رقم (6) بادخال العمود I_0^q يتم حساب المعلمة S باستخدام طريقة المربعات الصغرى .

6. طريقة المربعات الصغرى : Least Squares Method

لحل المعادلة $Y = IS$ في الخطوة رقم 6 في الخوارزمية ، بما أن
 $y_t \in R, t=1, 2, \dots, T$ ، وبما أن $I = \{I^1, I^2, \dots, I^m\}$ عندما I^m هي عبارة
 عن أعمدة.

$$Y = I\hat{S} + \varepsilon \quad \dots\dots\dots(5)$$

$$\hat{S} = [\hat{S}_1, \hat{S}_2, \dots, \hat{S}_N] \text{ عندما}$$

$$\sum_{i=1}^N \varepsilon_i^2 = \varepsilon' \varepsilon \quad \dots\dots\dots(6)$$

بتعويض المعادلة (5) في المعادلة (6) ينتج

$$\begin{aligned} &= (Y - I\hat{S})' (Y - I\hat{S}) \\ &= YY' - 2\hat{S}' I' Y + \hat{S}' I' I \hat{S} \quad \dots\dots\dots(7) \end{aligned}$$

وبما أن $\hat{S}' I' Y = Y' I \hat{S}$ هي كمية ثابتة (Scalar) فإن

نفاضل (7) بالنسبة الى \hat{S} ونساويها للصفر

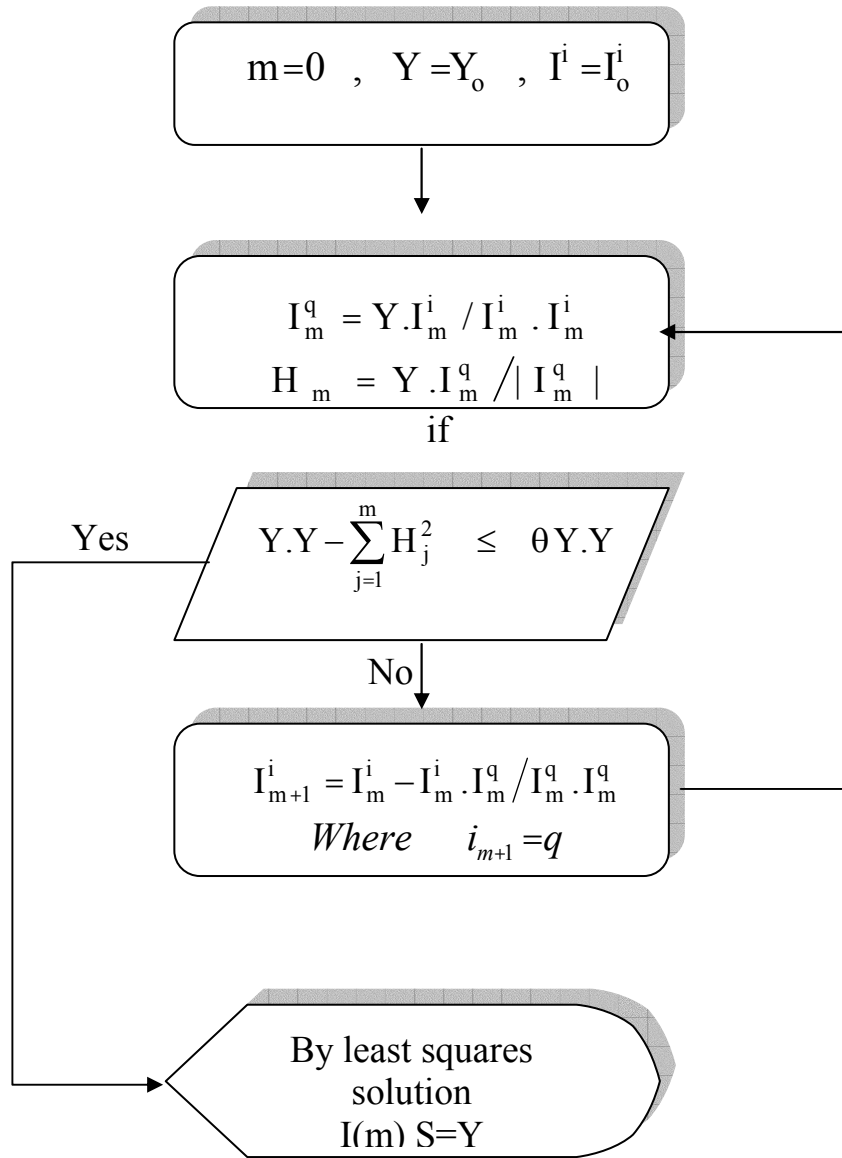
$$\begin{aligned} \frac{\partial}{\partial \hat{S}} (\varepsilon' \varepsilon) &= - 2 I' Y + 2 I' I \hat{S} \\ &= 0 \end{aligned}$$

$$\begin{aligned} [(I' I) \hat{S} = I' Y] &\times (I' I)^{-1} \\ (I' I)^{-1} (I' I) \hat{S} &= (I' I)^{-1} I' Y \end{aligned}$$

$$\hat{S} = (I' I)^{-1} I' Y \quad \text{إذا}$$

المخطط الانسيابي للخوارزمية

Flowchart of Algorithm



الآن يتم حساب \hat{y}_t وذلك باستخدام طريقة القاعدة النصف قطرية (الشعاعية) في الفقرة (3) المذكورة انفاً. وبعد حساب قيمة S من الخوارزمية في الفقرة (4) السابقة .

$$\therefore \hat{y}_t = \sum_{s=1}^N S_s \phi(|Z_t - C_s|) \dots \dots \dots (8)$$

$$\hat{y}_t = \hat{f}(Z_t) \text{ إذ}$$

وبعد ان تم حساب القيمة التقديرية لـ \hat{f} .

نجد الخطأ عن طريق قانون الخطأ (Mees. 1993) .

$$err = \frac{\sum_{t=1}^T (\hat{y}_t - y_t)^2}{\sum_{t=1}^T y_t^2} \dots \dots \dots (9)$$

إذ أن $0 < err < 1$ ، و \hat{y}_t هي القيمة المقدرة وأن y_t هي السلسلة الزمنية الحقيقية .

ملاحظة :

سوف يتم حساب الـ (err) عند كل اختيار عشوائي للمراكز إلى ان نصل إلى أقل خطأ محسوب ، عندها سيتم بناء النموذج الجيد عند أقل (err) . ولكي نحسب أقل حجم للنموذج (model size) نستخدم قوانين قياس أقل طول (Mees. 1993) (Minimum description Length, Rissanen, 1989) . وهي قوانين لقياس أقل طول (MDL) مناسب لبناء النموذج . وبما أن مقياس (Rissanen's, 1989) هو اشتقاق بني على فكرة لنظام إحصائي يشمل مقاييس . SIC, BIC

7 .مقياس معلومات أكاكي ومقياس معلومات بيز :

Akaike's Information Criteria and Bayesian Information Criteria

اصبح مقياس معلومات أكاكي أداة قياسية في نمذجة السلاسل الزمنية للبيانات لقياس ملاءمة نموذج احصائي بـ (M) من المعلمات ولتخمين خاصية ملاءمة النموذج، قدم Akaike (1973, 1974a) مقياس معلومات ، هذا

المقياس سمي بـ (Akaike's Information Criteria) وللاختصار يرمز له بـ (AIC) ويعرف بالمعادلة الآتية :

$$AIC(M) = -2\ln [\text{maximum likelihood}] + 2M \quad \dots\dots\dots(10)$$

عندما M هي عدد المعلمات في النموذج ، T هي عدد المشاهدات الفعالة ، إذ إن دالة (Log - Likelihood) هي

$$LnL = \frac{-T}{2} \ln 2\Pi\sigma_a^2 - \frac{1}{2\sigma_a^2} S(\phi, \mu, \theta) \quad \dots\dots\dots(11)$$

بما ان المعادلة (11) أعظم ما يمكن بالنسبة لـ σ_a^2, μ, ϕ ونحصل على :

$$\hat{\sigma}_a^2 = \frac{S(\hat{\phi}, \hat{\mu}, \hat{\theta})}{T}$$

$$LnL = \frac{-T}{2} Ln \hat{\sigma}_a^2 - \frac{T}{2} (1 + Ln 2\Pi) \quad \dots\dots\dots(12)$$

وبما أن الحد الثاني من المعادلة (12) هو ثابت ، إذاً فإن مقياس AIC يكون

$$AIC(M) = T Ln \hat{\sigma}_a^2 + 2M \quad \dots\dots\dots(13)$$

إذ أن الرتبة المثالية للنموذج هو باختبار قيمة M . إذ يكون عندها AIC (M) أقل ما يمكن (Wiiliam, 1989) . استطاع العالم الياباني Akaike ان يفتح افاقاً مهمة جداً عندما اقترح (Akaike, 1978 - 1979) تطوير توسيع بيز (Bayesian) باجراءات قليلة على AIC بـ (Bayesian Information Criterion) وسماه بمقياس معلومات بيز (BIC) والذي يأخذ الشكل الآتي:

$$BIC(M) = T Ln \hat{\sigma}_a^2 - (T - M) Ln \left(1 - \frac{M}{T}\right) + M Ln T + M_z Ln \left[\frac{\left(\frac{\hat{\sigma}_z^2}{\hat{\sigma}_a^2} - 1\right)}{M} \right] \quad \dots\dots\dots(14)$$

حيث $\hat{\sigma}_a^2$ هي مقدر الامكان الأكبر لـ σ_a^2 و M وهي عدد المعلمات ، و $\hat{\sigma}_z^2$ هو تباين العينة للسلسلة (Wiiliam, 1989) ، أو

$$BIC(M) = T \text{Log} (\text{err}) + M \text{Log} (T) \quad \dots\dots\dots(15)$$

إذ أن T يمثل حجم العينة المستخدمة ، و M يمثل عدد المعلمات ، و (err) هو الخطأ واضح في المعادلة (9) إذ أن y_t هي العينة المستخدمة وأن \hat{y}_t هي العينة الناتجة (Mees, 1993).

8. مقياس معلومات شوارز: Schwarz Information Criterion

يرمز لمقياس معلومات شوارز (Schwarz Information Criterion) بـ (SIC) (Tong, 1990 ; LeBaron, 1991) الذي اشتق بالاعتماد على مفهوم ريسانين لقياس أقل نوع طول (Rissanen's Concept of minimum) (description length) (Mees, 1993). إذ أننا بالاعتماد على مقياس شوارز (Schwarz) تم بناء نماذج صغيرة بخصائص جيدة وبأقل خطأ ، ويعرف كما يأتي :

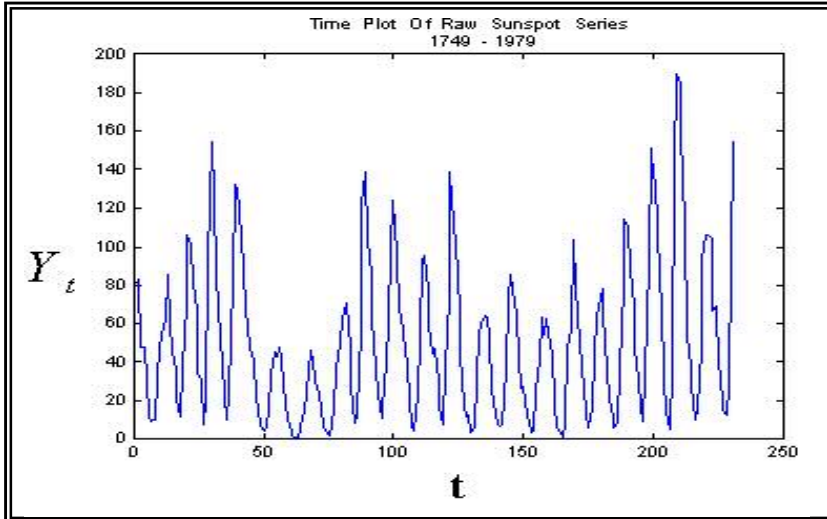
$$SIC(M) = BIC(M) / T \quad \dots\dots\dots(16)$$

إذ أن M تمثل عدد معلمات النموذج ، T حجم العينة المستخدمة .

الجانب التطبيقي

المقدمة : Introduction

في هذا الجانب تم بناء نموذج صغير وذلك بتطبيق طريقة دالة القاعدة النصف قطرية (الشعاعية) (radial basis method) ، وكذلك اختيار حجم النموذج الأمثل باستخدام قوانين الطول (Rissanen, 1989). تم اخذ سلسلة البقع الشمسية لتطبيق طريقة دالة القاعدة النصف قطرية (الشعاعية) (radial basis method) ، لأن هذه السلسلة جلبت اكبر قسم من الاهتمام في موضوع الفيزياء الفلكية وذلك بسبب سلوك المدار الكلاسيكي فيها. (Aziz, 1996)



الشكل (1)

السلسلة الزمنية للبيانات الحقيقية للبقع الشمسية من 1979-1749

1. تطبيق الخوارزمية : Application of the Algorithm

بعد تطبيق نظرية Taken's الموضحة في فقرة (2) وباستخدام برامج بلغة matlab نستنتج مصفوفة Z_t بسعة $[30 * 3]$ ، إذ ان البعد المغمور هو (3) و $\text{lag } h=1$. وباختيار المركز عشوائيا من Z_t وتطبيق المعادلة (4) سنوجد المصفوفة الكاوسية (Gaussian) $\phi(r)$. نختار عموداً من المصفوفة الكاوسية (Gaussian) $\phi(r)$ وكما موضح في فقرة (5). وباستخدام السلسلة الزمنية الحقيقية y_t ، يتم تطبيق الخوارزمية الموضحة في فقرة (4) . سينتج لدينا المعلمة المطلوبة S. وبتكرار العمليات السابقة أي باختيار مراكز اخرى C_s عشوائيا من Z_t وإيجاد المصفوفة الكاوسية (Gaussian) وتطبيق الخوارزمية مرة اخرى بالاعتماد على البرامج بلغة Matlab . نستخرج عدداً من المعلمات (S) بعدد المراكز المختارة عشوائيا .

2. تطبيق نظرية دالة القاعدة النصف قطرية (الشعاعية)

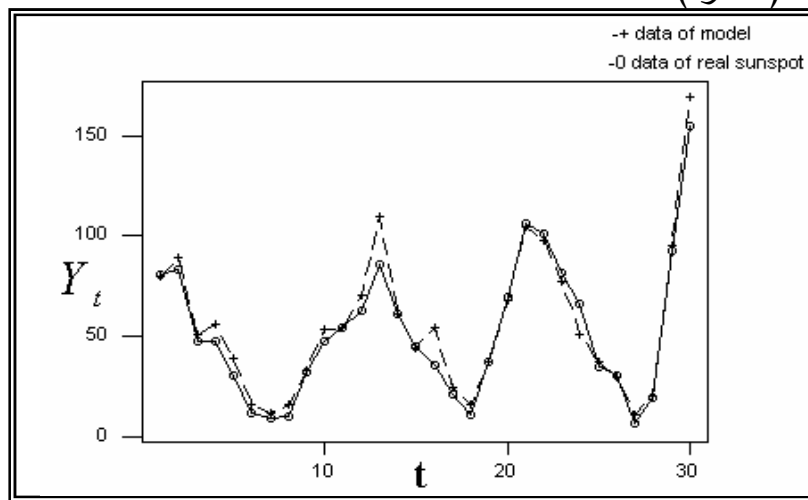
بتطبيق المعادلة (8) عند كل معلمة ناتجة في الفقرة (1) وذلك باستخدام برنامج بلغة Matlab سنتنتج لدينا السلسلة الزمنية المقدرة \hat{Y}_t . وباستخدام برنامج اخر بلغة Matlab تم استخراج الخطأ حسب المعادلة (9) إذ تم حساب

الخطأ عند كل تقدير لـ \hat{Y}_t المقدر، وبتطبيق قوانين الطول ، BIC ،
SIC كما في المعادلتين (16) و (15) . وباستخدام برنامج بلغة Matlab تم
حساب BIC و SIC عند كل تقدير الى \hat{Y}_t المقدر .

3. اختيار النموذج الأمثل :

يمكن ملاحظة النموذج الجيد الذي يكون الخطأ فيه قليلاً عندها يتم اختيار \hat{Y}_t
المقدر .

ويمكن ملاحظة ذلك من الشكل (2) إذ ان السلسلة الحقيقية تكون مقاربة من السلسلة
الناتجة (المقدر) .

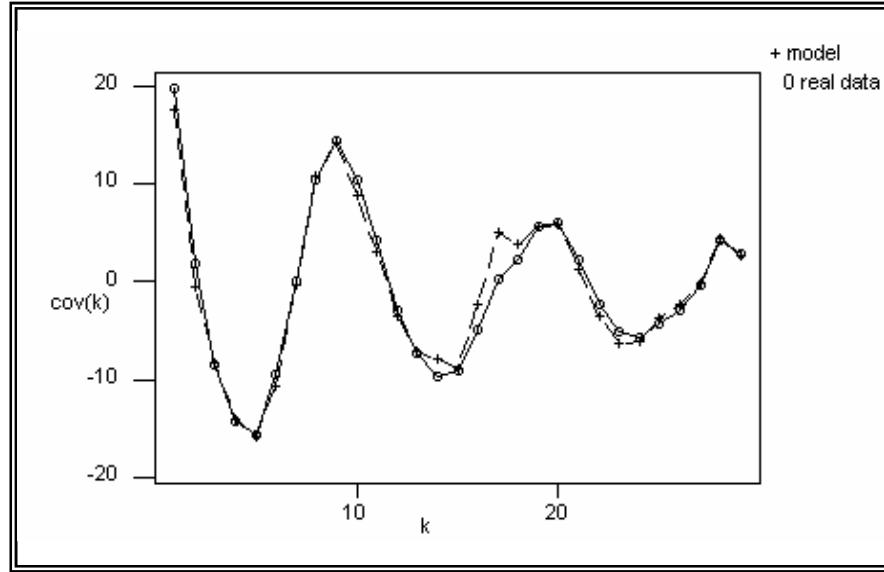


الشكل (2)

السلسلة الزمنية المقدر باستخدام نظرية دالة القاعدة (الشعاعية) والسلسلة
الزمنية للبيانات الحقيقية

4. التغاير : Covariance

ومن خلال البرنامج بلغة Matlab نستخرج التغاير بين عناصر السلسلة
الحقيقية وعناصر السلسلة المقدر، وباستخدام نظام Minitab تم رسم الشكل (3)
الذي يوضح التغاير فنلاحظ التشابه بين السلسلة الحقيقية والسلسلة المقدر في
التغاير .

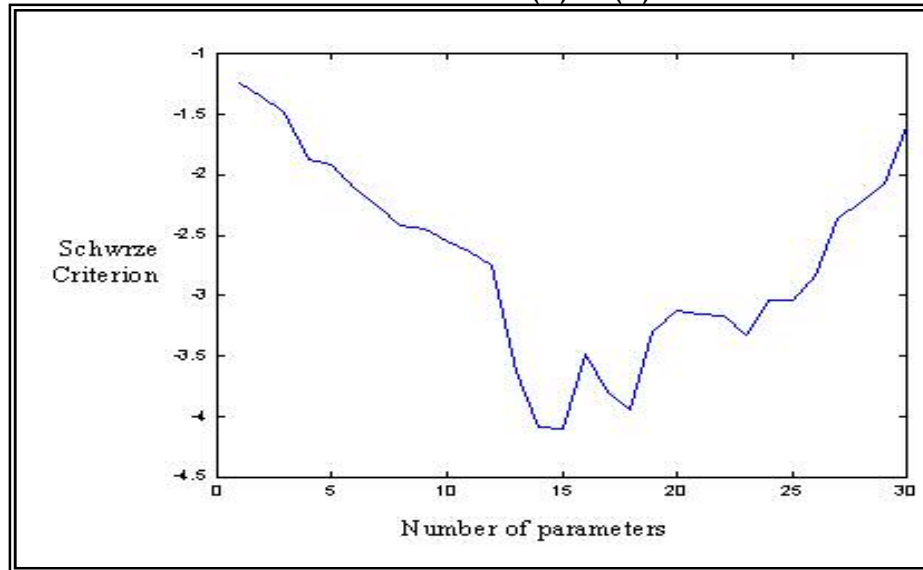


الشكل (3)

التغاير للبيانات الحقيقية وبيانات النموذج المقدرة

كذلك سنلاحظ أن النموذج الجيد يكون قيمة BIC و SIC عنده اقل ما

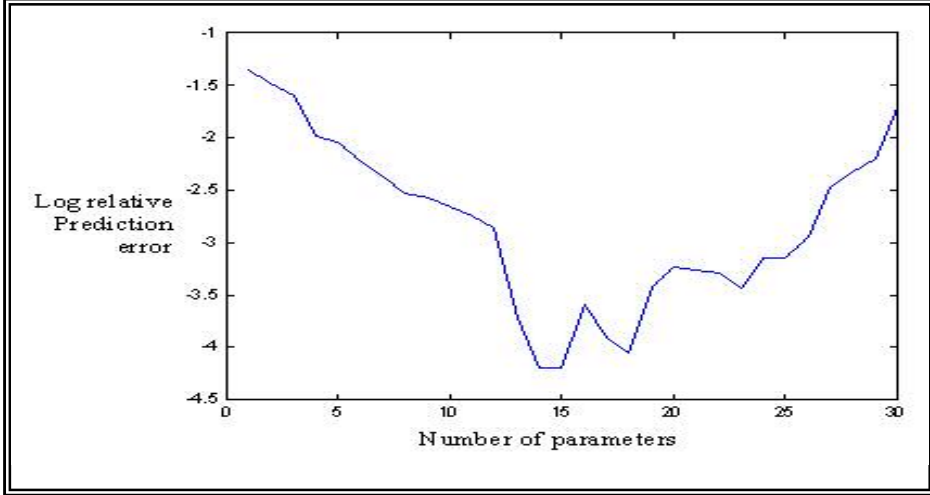
يمكن، لاحظ الشكلين (4) و (5).



الشكل (4)

مقياس شوارز (Schwarz Information Criterion) بالنسبة الى عدد

المعلمات



الشكل (5)

Log (err) بالنسبة الى عدد المعلمات

5. تحليل البواقي: Residuals Analysis

بتطبيق المعادلة (1) نحسب البواقي (residuals) كما في الجدول (1) إذ يمثل V_t البواقي. في أي نوع من الاختبارات لنماذج السلاسل الزمنية من المهم جدا فحص البواقي للتأكد من سلامة الفروض التي وضعت عليها بعد تخمين معالماتها. والبواقي V_t تعرف بأنها الفرق بين القيمة الملاحظة والقيمة المقدرة من النموذج ولعل من أهم الفروض التي تفترض على البواقي هو ان تكون غير مرتبطة (uncorrelated) مع بعضها البعض، وإذا كانت البواقي غير مرتبطة فيفضل اختبار فيما اذا كانت تتبع التوزيع الطبيعي $N(0, \sigma^2)$ (العبيدي، 1989)

6. اختبار عدم الارتباط: Uncorrelation Test

لتكن $\{V_t; t = 1, 2, \dots\}$ ترمز الى البواقي الناتجة من النموذج المقترح لبيانات السلسلة الزمنية $\{\hat{Y}_t; t = 0, \pm 1, \pm 2, \dots\}$ ، ولتكن \hat{r}_k معامل الارتباط الذاتي لفترة k حيث ان $k = 1, 2, \dots$ ، ومعامل الارتباط معرف كما يأتي: (Aziz, 1996)

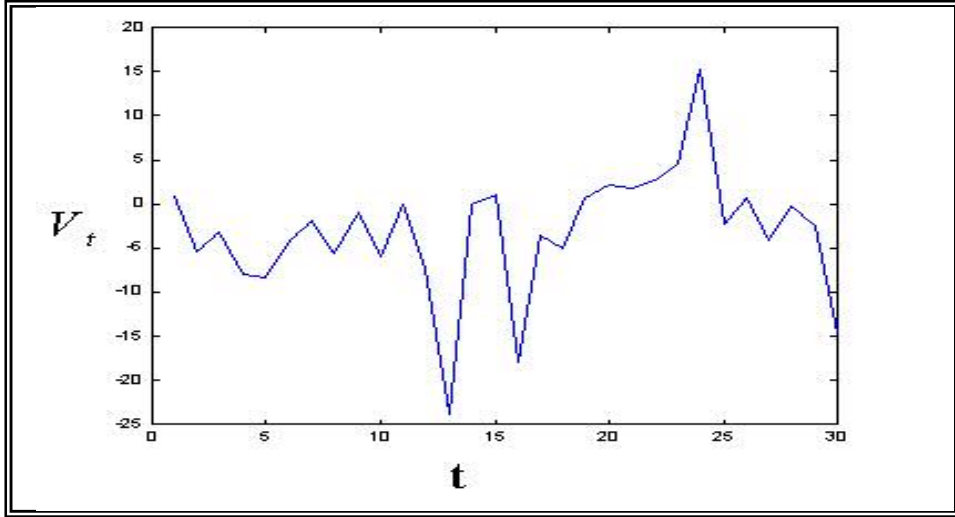
$$\hat{r}_k = \frac{\sum_{t=k+1}^n (v_t - \bar{v})(v_{t-k} - \bar{v})}{\sum_{t=1}^n (v_t - \bar{v})^2} \quad \dots\dots\dots(17)$$

Where $\bar{v} = n^{-1} \sum_{t=1}^n v_t$

ومن المعروف ان \hat{r}_k يتوزع طبيعيا بمعدل صفر وتباين $1/\sqrt{n}$ عندما تكون البواقي غير مرتبطة مع بعضها البعض لذا فإذا كانت V_t 's غير مرتبطة فإنه يفترض ان نلاحظ مالا يقل عن 95% من r_k 's تقع داخل القيد $\pm 1.96/\sqrt{n}$ (العبيدي (1989)). فإننا نقبل البواقي لكي تكون غير مرتبطة وبعبسه فإننا نرفض ذلك . والشكل (6) يمثل رسم البواقي كدالة للزمن (t) .

الجدول (1): (جدول قيم البواقي)

t	Y_t	\hat{Y}_t	V_t	t	Y_t	\hat{Y}_t	V_t
1	80.9	80.048	0.85	16	36.0	53.998	-17.9978
2	83.4	88.877	-5.477	17	20.9	24.591	-3.6909
3	47.4	50.641	-3.2412	18	11.4	16.345	-4.9453
4	47.8	55.895	-8.095	19	37.8	37.215	0.585
5	30.7	39.039	-8.339	20	69.8	67.643	2.1568
6	12.2	16.345	-4.145	21	106.1	104.347	1.7529
7	9.6	11.529	-1.929	22	100.8	98.072	2.7283
8	10.2	15.835	-5.6345	23	81.6	77.056	4.5437
9	32.4	33.493	-1.0932	24	66.5	51.298	15.2021
10	47.6	53.633	-6.033	25	34.8	37.215	-2.4147
11	54.0	54.071	-0.0708	26	30.6	30.064	0.5364
12	62.9	70.197	-7.297	27	7.0	11.164	-4.1644
13	85.9	109.674	-23.7739	28	19.8	20.213	-0.4127
14	61.2	61.368	-0.1678	29	92.5	95.007	-2.5069
15	45.1	44.001	1.0991	30	154.4	169.290	-14.8904



الشكل (6)

البواقي كدالة للزمن بالنسبة الى نموذج دالة القاعدة النصف قطرية (الشعاعية)

7. اختبار الطبيعية : Test of Normality

وباستخدام نظام Minitab تم حساب دالة الارتباط الذاتي للبواقي وبحيث

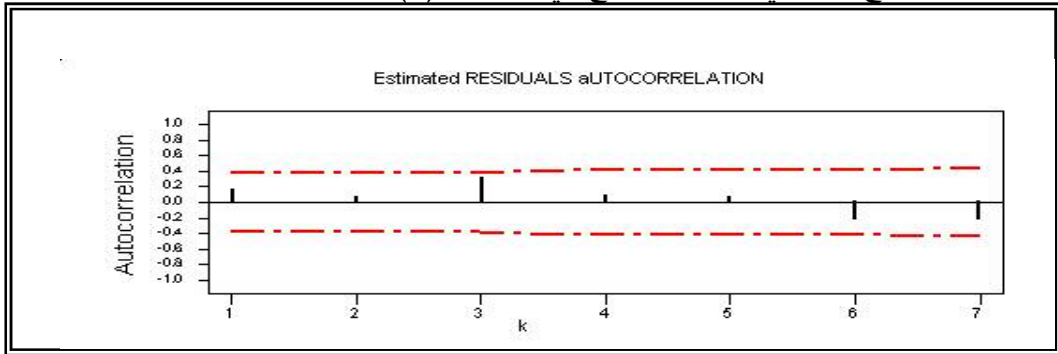
ان دالة الارتباط الذاتي هنا هي \hat{r}_k , $k=1,2,\dots,30$ وحدود الثقة هي 95% و

99% الى r_k 's ومن

ملاحظة الشكل (7) نلاحظ ان دالة الارتباط الذاتي تبقى داخل القيد في الرسم وهذا

يدل على ان البواقي غير مترابطة وان التوزيع الاحتمالي لهذه البواقي هو قريب

من التوزيع الطبيعي، وكما موضح في الجدول (2)



الشكل (7): الارتباط الذاتي لبواقي نموذج دالة القاعدة النصف قطرية (الشعاعية)

الجدول (2): جدول اختبار البواقي

الحد الأدنى	الحد الأعلى	القيم المشاهدة	القيم المتوقعة	Chi- square
At or below	-23	1	0.105	7.63
-23	-20	0	0.216	0.216
-20	-17	1	0.54	0.392
-17	-14	1	1.344	0.09
-14	-11	0	2.271	2.27
-11	-8	2	3.453	0.61
-8	-5	4	4.458	0.047
-5	-2	7	4.992	0.081
-2	1	8	4.392	2.964
1	4	4	3.891	0.003
4	7	1	2.046	0.535
7	10	0	1.305	1.305
10	13	0	0.621	0.621
13	16	1	0.261	2.09
Total		30		18.853
$\chi^2_{11,0.01} = 24.72$				Accept H₀*
$\chi^2_{11,0.05} = 19.68$				Accept H₀

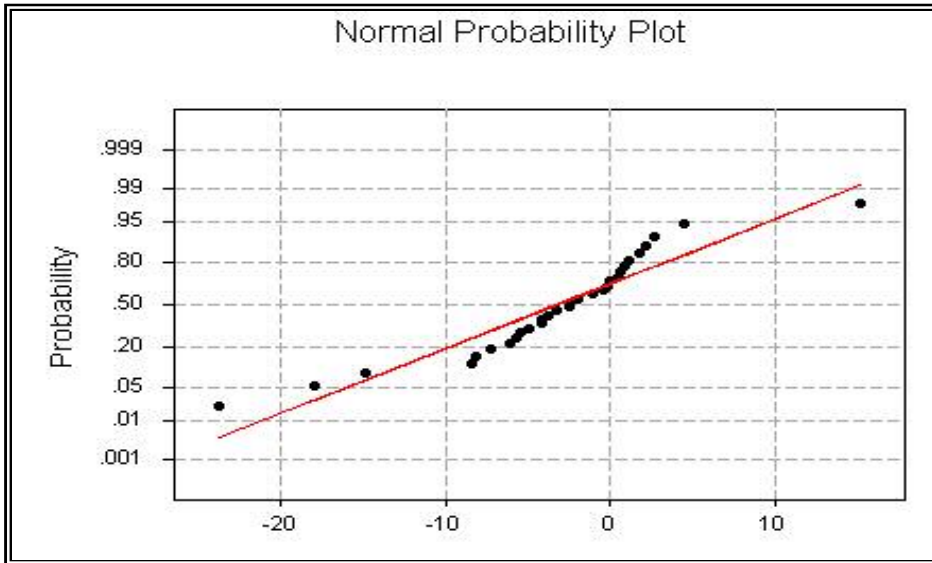
H₀*: The residuals are normally distributed

نلاحظ ان القيمة المحسوبة في الجدول هي (18.853) أقل من القيمة الجدولية بمستوى معنوية 0.01 و 0.05 أي ان التوزيع الاحتمالي للبواقي هو قريب من التوزيع الطبيعي.

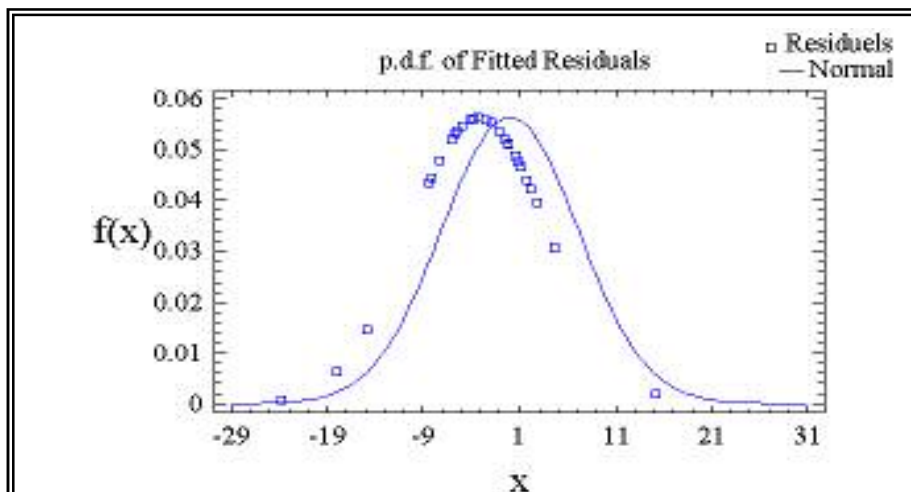
$$\chi^2 = \sum_{i=1}^{14} \frac{(O_i - E_i)^2}{E_i} \quad \text{اذ ان قانون (Chi- square) هو}$$

حيث ان E_i هي التوقعات و O_i هي المشاهدات ،ومن خلال استخدام نظام

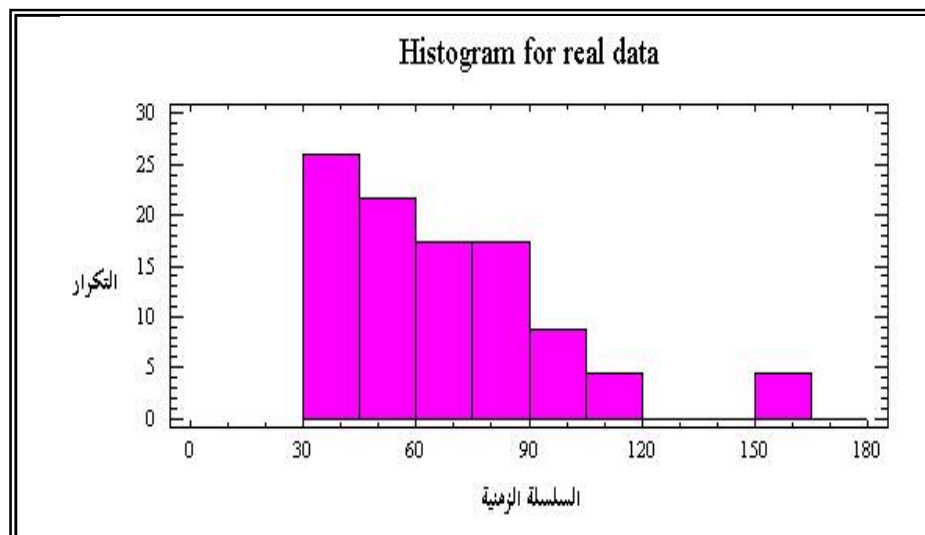
Minitab يمكن ملاحظة الشكل (8) للاحتمال الطبيعي للبواقي وكذلك الشكل (9) بالنسبة الى دالة كثافة الاحتمال للبواقي (p.d.f) .



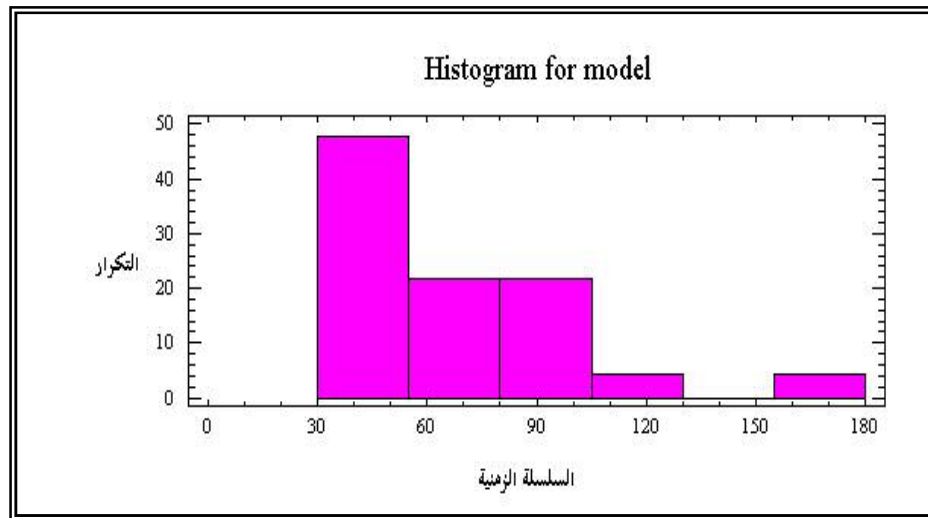
الشكل (8) : شكل الاحتمال الطبيعي لبواقي نموذج دالة القاعدة النصف قطرية (الشعاعية)



الشكل (9) : دالة كثافة الاحتمال لبواقي نموذج دالة القاعدة النصف قطرية (الشعاعية)



الشكل (10): المدرج التكراري للبيانات الحقيقية



الشكل (11): المدرج التكراري لبيانات النموذج الشعاعي

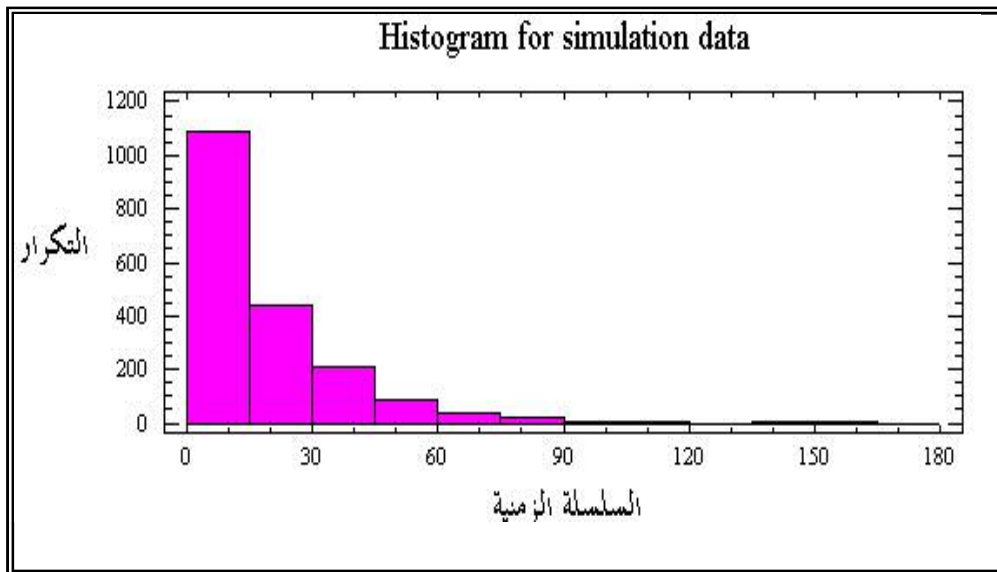
تبين من الشكلين (10) و (11) أنهما متطابقان من حيث الشبه بشكل الدالة الاسية مما يدل على ان البيانات للنموذج مقاربة للبيانات الحقيقية . ومن الجدول (3) نلاحظ وبمستوى معنوية 0.01 و 0.05 بأن بيانات النموذج تتبع التوزيع الاسي .

الجدول (3)

الحد الأدنى	الحد الأعلى	القيم المشاهدة	القيم المتوقعة	Chi- square
0	13	2	6.15	2.8

13	26	5	4.89	0.0025
26	39	4	3.867	0.0046
39	52	3	3.093	0.0028
52	65	6	2.46	5.09
65	78	3	1.95	0.565
78	91	2	1.55	0.131
91	104	2	1.23897	0.467
104	117	2	0.99	1.030
117	130	0	0.771	0.771
130	143	0	0.62265	0.623
143	156	0	0.49455	0.494
156	169	0	0.3933	0.3933
169	182	1	0.3135	1.5033
Total		30		13.8775
$\chi^2_{12,0.01} = 26.217$				Accept H_0^*
$\chi^2_{12,0.05} = 21.0261$				Accept H_0

H_0^* : the data of model are exponential distribution

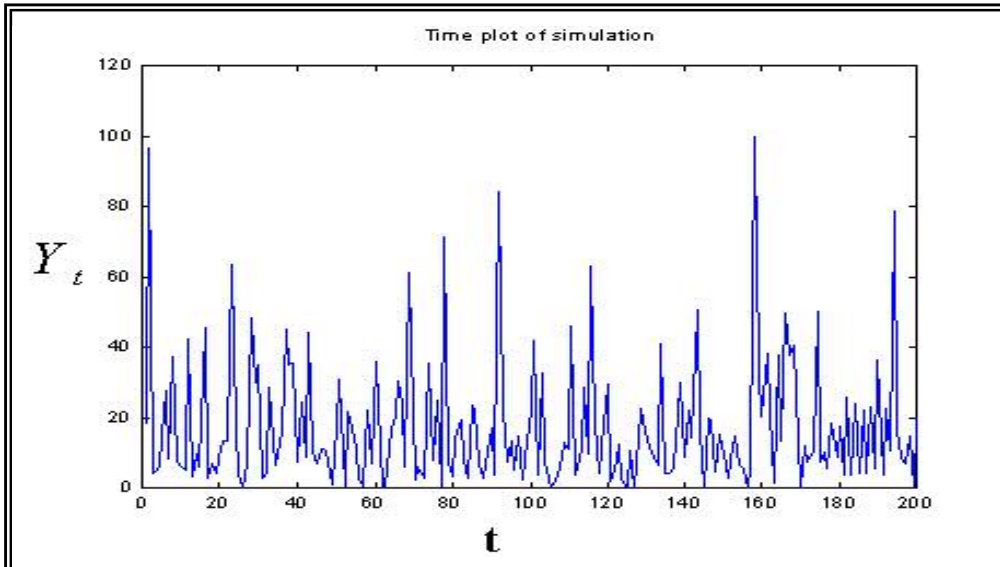
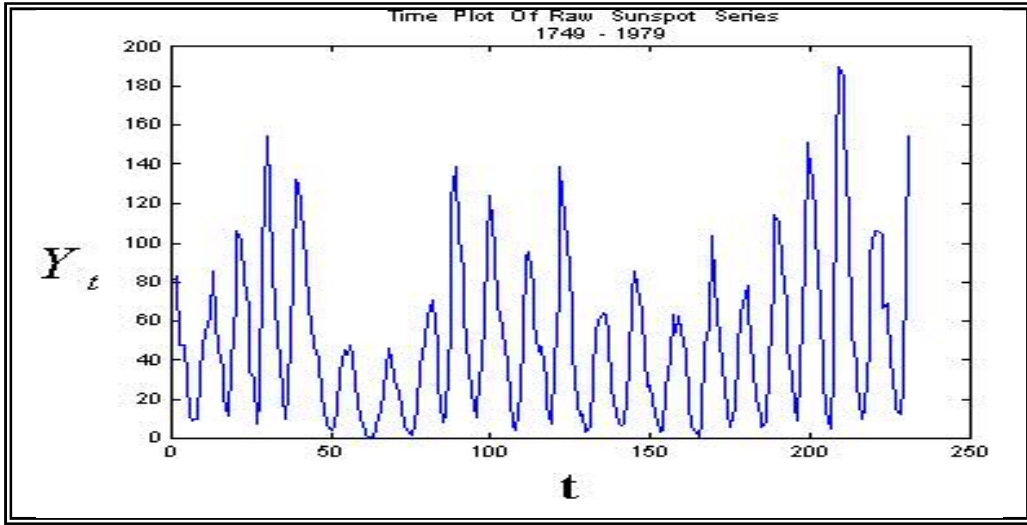


الشكل (12)

المدرج التكراري للبيانات المولدة من نموذج الشعاعي

8. المحاكاة باستخدام الشبه بالدالة الاسية : Simulation of Exponential Function

من رسم الشكل (12) يمكن ملاحظة أن بيانات النموذج تتبع التوزيع الاسي أيضا ، اذا سنستنتج أنه يمكن عمل المحاكاة على عناصر النموذج باستخدام الدالة الاسية . ومن خلال نظام Minitab تم توليد بيانات من الدالة الاسية لعمل المحاكاة كما في الشكل (13) اذ نلاحظ تقارب الشكل الأصلي للبيانات الحقيقية من شكل المحاكاة .



الشكل (13)

مقارنة بين بيانات السلسلة الزمنية الحقيقية للبقع الشمسية وبيانات المحاكاة
نموذج دالة القاعدة الشعاعية

الاستنتاجات: Conclusion:

نستنتج من تطبيق طريقة دالة القاعدة النصف قطرية (الشعاعية) (radial basis of method) أن هذه النظرية من ميزاتنا الجيدة بناء نماذج بمعلمات قليلة وبأخطاء صغيرة بالمقارنة مع أساليب النمذجة الأخرى في بناء النماذج الديناميكية. كذلك في التوليد (interpolation) وذلك عن طريق استخدام (taken's, 1981) (Small, Judd, and Mees, 2001)، ولقياس حجم النموذج الأمثل تم استخدام مقياس (Rissanen, 1989) أي أقل نوع طول (minimum description length) ومن هذه المقاييس (Bayesian Information criterion) ويرمز له للاختصار (BIC) و (Schwarz information criterion) ويرمز له للاختصار (SIC) (Mees, 1993). حيث تم بناء نموذج صغير بمعلمات قليلة وبأقل خطأ وأمتل حجم وتم تحليل البواقي للنموذج بالاعتماد على اختبار عدم الارتباط (Uncorrelation Test) واختبار الطبيعية (Test of Normality) وكذلك تم عمل المحاكاة لبيانات النموذج.

التوصيات: Recommendation :

1. بناء نماذج لسلاسل زمنية مختلفة تؤخذ من الطبيعة باستعمال طريقة دالة القاعدة النصف قطرية (الشعاعية) .

2. بناء نموذج لسلاسل زمنية باستعمال طريقة القاعدة النصف قطرية (الشعاعية) إذ تكون دالة القاعدة هي (Splin Function) بدلا من الدالة الكاوسية (Gaussian Function) التي تم استعمالها في هذا البحث.
3. بناء نموذج للسلسلة الزمنية للبقع الشمسية للفترة الزمنية المأخوذة في الدراسات السابقة لهذه السلسلة ومقارنة هذا النموذج بنماذج تلك الدراسات السابقة .
4. اختيار المراكز بطرائق أخرى غير الطريقة العشوائية التي تم استخدامها في هذا البحث.
5. استعمال النظام الديناميكي المولد بطريقة دالة القاعدة النصف قطرية (الشعاعية) في التخمين (Estimation)، السيطرة (Control)، وحساب البعد الكسوري الاحتمالي.

المصادر

– المصادر العربية :

1. العبيدي ، عبد الغفور جاسم (1989) ، "تحليل ونمذجة السلسلة الزمنية لدرجات الحرارة في مدينة الموصل" ، رسالة ماجستير ، جامعة الموصل .

– المصادر الأجنبية :

2. Aziz, M.M. (1996), "A New Analysis of Sunspot time Series", Ph.D. thesis, University of Mosul.
3. Casdagli, M. (1989), "Non – Linear Prediction of Chaotic Time Series", Physica D35(3), 335 – 356.
4. Farmer, J.D. and Sidorowich, J.J. (1987), "Predicting Chaotic Time Series", Phys. Rev. Lett., 59(8), 845 – 848.
5. Grassberger, P. and Procaccia, I. (1983), "Characterization of Strange Ahractor", Physics Review Letter So: 346.
6. Judd, K. and Mees, A. (1995), "On Selecting Models for Non Linear Time Series", Physica D82: 426 – 444.

7. Mees, A.I., (1990), "Modeling Complex Systems", In: Dynamics of Complex Interconnected Biological Systems eds. Vincent, T., Mees, A.I. and Jennings, L.S., Birkhauser, Boston, pp. 104 – 124.
8. Mees, A.I., (1993), "Parsimonious Dynamical Reconstruction", The University of Western Australia, In: Bifurcation and Chaos³, 669 – 675.
9. Mees, A.I., (1994), "Reconstruction Chaotic Systems in the Presence of Noise", The University of Western Australia, Nedlands 6009, pp. 305 – 321.
10. Rissanen, J. (1989), "Stochastic Complexity in Statistical Inquiry", World Scientific Singapore.
11. Small, M. and Judd, K. and Mees, A. (2001), "Testing Time Series for Nonlinearly", University of Western Australia. Statistics and Computing, 11: 257 – 268.
12. Small, M., Judd, K. and Mees, A. (2002), "Modeling Continuous Process Form Data", Physical Review, volume E65, 046704.
13. Takens, F. (1981), "Detecting Strange Attractors in Turbulence", Lecture Notes in Mathematics 898: 366 – 381.
14. Tong, H. (1990), "Non-linear Time Series: A Dynamical System", Approach Oxford Clarendon.
15. William W.S. Wel (1989), "Time Series Analysis", Department of Statistics Temple University.